



## پرتوسازی فروسو در سیستم‌های رادیو شناختمند MIMO مبنی بر بیشینه نسبت نرخ بیت صحیح به توان ارسالی

محسن عباسی جنت آباد<sup>۱</sup>، حسین ضمیری جعفریان<sup>۲</sup>

<sup>۱</sup>دانشگاه فردوسی مشهد، مرکز پژوهشی مخابرات و کامپیوتر، stu-mail.um.ac.ir

<sup>۲</sup>دانشگاه فردوسی مشهد، دانشکده مهندسی، گروه برق، hzamiri@um.ac.ir

چکیده - در این مقاله، الگوریتم نوینی برای پرتوسازی فرستنده و گیرنده و تخصیص توان در مسیر فروسوی سیستم‌های رادیو شناختمند چند ورودی چند خروجی ارائه خواهد شد. در این الگوریتم، نخست اولویت کاربر اختصاصی نسبت به کاربر غیر اختصاصی در استفاده از طیف، با در نظر گرفتن ضریبی بین نسبت سیگنال به نویز بعلاوه تداخل آنها تضمین می‌گردد. سپس با توجه به اینکه بالا بودن نسبت نرخ بیت صحیح به توان ارسالی، ملاکی از کارکرد خوب یک سیستم مخابراتی است، در راستای استفاده مفید از پهنای باند، نسبت کل تعداد بیت‌های صحیح دریافتی به کل توان ارسالی، در چارچوب محدودیت توان ارسالی ایستگاه پایه بیشینه می‌گردد. بهینه سازی پرتوسازی بر اساس تجزیه ماتریس کانال‌ها مبنی بر مقادیر ویژه انجام می‌گیرد. نتایج شبیه سازی نشان دهنده کارکرد خوب الگوریتم پیشنهادی است.

کلید واژه- شبکه رادیو شناختمند، پرتوسازی و تخصیص توان، کاربر اختصاصی(PU) و غیر اختصاصی(SU)

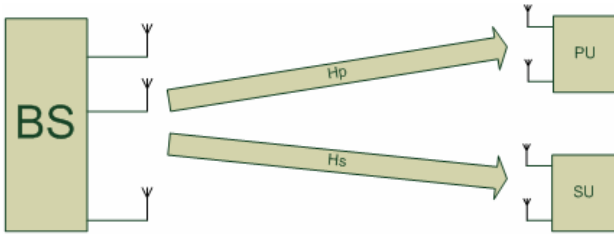
به نویز بعلاوه تداخل SU ها مطالعه شده است. در مقاله [۴]

پرتوسازی با ملاک کمینه کردن مجموع معکوس SIR کاربران در مسیر فروسوی سیستم MIMO چندکاربره بررسی شده است. در مقاله [۵] بهینه سازی پرتوسازی مبنی بر بیشینه کردن نرخ ارسال SU ها با توجه به قیدهای حداقل آستانه توان تداخل ایجاد شده برای PU و نسبت سیگنال به نویز بعلاوه تداخل SU ها در دو حالت متفاوت انجام گرفته است. در حالت اول، با استفاده از بهینه سازی هندسی و با فرض پشتیبانی تمام SU ها با SINR مورد نیاز، مسئله حل می‌شود. در حالت دوم، تعدادی از SU ها از کیفیت سرویس مورد نیاز برخوردار نبوده و با تعریفتابع سود شبکه، ابتدا با استفاده از یک الگوریتم جستجو، بهترین SU ها در راستای بیشینه کردن تابع سود شبکه انتخاب شده و سپس بهینه سازی نرخ بیت صورت می‌گیرد.

در این مقاله، الگوریتم نوینی برای بهینه سازی پرتوسازی فروسو و تخصیص توان در سیستم رادیو شناختمند چند ورودی چند خروجی(MIMO) جهت افزایش کارایی طیفی با ملاک جدیدی ارائه می‌گردد. بالا بودن نسبت نرخ بیت صحیح به توان ارسالی ملاک مناسبی از کارکرد خوب یک سیستم مخابراتی است. در این الگوریتم، نسبت کل تعداد بیت‌های صحیح دریافتی به کل توان ارسالی در چارچوب رابطه بین نسبت سیگنال به نویز

### ۱- مقدمه

تکنولوژی رادیو شناختمند تلاش می‌کند در جهت استفاده مفید از پهنای باند، هنگامیکه کاربر اختصاصی(PU) از طیف استفاده نمی‌کند، پهنای باند مربوطه را در اختیار کاربر غیر اختصاصی(SU) قرار داده و به این ترتیب کارایی طیف فرکانسی را افزایش دهد [۱]. سیستم رادیو شناختمند علاوه بر استفاده مفید از طیف، باید کیفیت سرویس مورد نیاز PU را تضمین کند. در سال‌های اخیر راهکارهای مختلفی جهت رسیدن به این منظور ارائه شده است. در مقاله [۲]، بهینه سازی پرتوسازی و تخصیص توان در شبکه رادیو شناختمند چند ورودی یک خروجی(MISO) با دو ملاک بیشینه کردن ظرفیت SU ها و نیز کمینه کردن نسبت سیگنال به نویز بعلاوه تداخل (SINR) SU ها بررسی شده است. در هر دو ملاک، حداقل آستانه توان تداخل ایجاد شده برای PU و حد مجاز توان ارسالی هر SU به عنوان قیود بهینه سازی در نظر گرفته شده‌اند. در مقاله [۳]، پرتوسازی فروسو و تخصیص توان در سیستم رادیو شناختمند MISO با هدف کمینه کردن توان ارسالی با توجه به قیدهای حداقل آستانه توان تداخل ایجاد شده برای PU و نسبت سیگنال



شکل ۱: مدل سیستم.

با توجه به روابط (۲) و (۳)،  $SINR_{SU}$  و  $SINR_{PU}$  به ترتیب بصورت روابط زیر می‌باشند.

$$SINR_{PU} = \frac{V_p^H H_p^H U_p U_p^H H_p V_p}{V_s^H H_s^H U_p U_p^H H_s V_s + N_p} \quad (4)$$

$$SINR_{SU} = \frac{V_s^H H_s^H U_s U_s^H H_s V_s}{V_p^H H_s^H U_s U_s^H H_s V_p + N_s} \quad (5)$$

که در آن  $N_p = U_p^H E[n_p n_p^H] U_p$  و  $N_s = U_s^H E[n_s n_s^H] U_s$

از پرتوسازی در گیرنده هستند. نماد [.] نشان‌دهنده اميد ریاضی می‌باشد.

### ۳- بهینه سازی پرتوسازی و تخصیص توان مبنی بر بیشینه نسبت نرخ بیت صحیح به توان ارسالی

الگوریتم پرتوسازی و تخصیص توان در راستای استفاده مفید از پهنای باند در سیستم‌های شناختمند MIMO طراحی می‌گردد، بطوريکه با در نظر گرفتن تقدم PU با برقراری رابطه‌ای بین  $SINR_{PU}$  و  $SINR_{SU}$ ، نسبت کل تعداد بیت‌های صحیح دریافتی به کل توان ارسالی در چارچوب محدودیت کل توان ارسالی BS بیشینه گردد. با توجه به این توضیحات، برای در نظر گرفتن تقدم PU، ارتباط بین  $SINR_{PU}$  و  $SINR_{SU}$  به عنوان قید، قید بهینه سازی در نظر گرفته شده و پس از تضمین این قید، ملاک بهینه سازی، بیشینه کردن نسبت کل تعداد بیت‌های صحیح دریافتی به کل توان ارسالی در چارچوب کل توان ارسالی مشخص، می‌باشد. بهینه سازی با استفاده از روش مقادیر ویژه انجام می‌شود [۶]. بنابراین ملاک و قیود بهینه سازی الگوریتم پرتوسازی و تخصیص توان، بصورت رابطه (۶) است.

$$\begin{aligned} & \max \left\{ N_c / P_{\max} \right\} \\ \text{s.t. } & \begin{cases} P_p + P_s \leq P_{\max} \\ SINR_{PU} = rSINR_{SU} \end{cases} \end{aligned} \quad (6)$$

که در آن  $N_c$  کل تعداد بیت‌های صحیح دریافتی،  $P_{\max}$

بعلاوه تداخل PU ( $SINR_{PU}$ ) و نسبت سیگنال به نویز بعلاوه تداخل SU ( $SINR_{SU}$ ) و نیز کل توان ارسالی ایستگاه پایه (BS) بیشینه می‌گردد. عبارت دیگر، با توجه به اولویت PU نسبت به SU در استفاده از طیف فرکانسی، ابتدا ضریبی بین  $SINR_{SU}$  و  $SINR_{PU}$  در نظر گرفته می‌شود. پس از تضمین اولویت PU، با توجه به قید کل توان ارسالی، نسبت کل

بیت‌های صحیح دریافتی به کل توان ارسالی بیشینه می‌گردد.

در ادامه، نخست در بخش ۲ سیستم رادیو شناختمند MIMO مبنی بر بردارهای پرتوسازی گیرنده و فرستنده مدلسازی می‌گردد. بخش ۳ به بررسی روش بهینه سازی، ملاک و قیود مربوطه و ارائه الگوریتم پیشنهادی برای پرتوسازی و تخصیص توان می‌پردازد. نتایج شبیه سازی در بخش ۴ آورده خواهد شد و سرانجام، بخش ۵ به نتیجه گیری و جمع بندی می‌پردازد.

### ۲- مدل سیستم و سیگنال‌ها

شکل ۱ مسیر فروسوی سیستم رادیو شناختمند MIMO نشان می‌دهد. BS دارای  $N$  آنتن فرستنده و PU و SU به ترتیب دارای  $M_p$  و  $M_s$  آنتن گیرنده می‌باشند. رابطه سیگنال ارسالی ایستگاه پایه (X) بصورت زیر است.

$$X = V_p S_p + V_s S_s \quad (1)$$

که در آن  $V_p$  و  $V_s$  به ترتیب بردارهای پرتوسازی فرستنده برای PU و SU،  $S_p$  و  $S_s$  به ترتیب سمبلهای ارسالی برای PU و SU می‌باشند. سمبلهای ارسالی از یکدیگر مستقل بوده و هر یک دارای توان واحد می‌باشند. توان ارسالی BS برای PU و SU به ترتیب  $A^H A = P_s = V_s^H V_s$  و  $P_p = V_p^H V_p$  می‌باشد. منظور از ترانهاده مختلط ماتریس  $A$  است. سیگنال‌های دریافتی گیرنده‌های PU و SU به ترتیب  $Y_p$  و  $Y_s$  بصورت روابط زیر می‌باشند.

$$\begin{aligned} Y_p &= U_p^H (H_p X + n_p) \\ &= U_p^H H_p V_p S_p + U_p^H H_p V_s S_s + U_p^H n_p \end{aligned} \quad (2)$$

$$\begin{aligned} Y_s &= U_s^H (H_s X + n_s) \\ &= U_s^H H_s V_p S_p + U_s^H H_s V_s S_s + U_s^H n_s \end{aligned} \quad (3)$$

که در این روابط،  $U_p$  و  $U_s$  به ترتیب بردارهای نرمالیزه پرتوسازی گیرنده‌های PU و SU هستند.  $H_p$  کanal بین BS و PU و  $H_s$  کanal بین BS و SU است.  $n_p$  و  $n_s$  نیز به ترتیب نویز گیرنده‌های PU و SU می‌باشند.

$Q_s = H_s^H U_s U_s^H H_s + \frac{N_s}{P_p} I_N$  و  
بصورت رابطه (۱۵) نوشت.

$$\begin{cases} f_p = \Gamma_p^H V_p \Rightarrow V_p = \Gamma_p^{-H} f_p \\ f_s = \Gamma_s^H V_s \Rightarrow V_s = \Gamma_s^{-H} f_s \end{cases} \quad (14)$$

$$\min \left\{ \frac{f_s^H \Gamma_s^{-1} Q_p \Gamma_s^{-H} f_s}{f_p^H f_p / b_{PU}} + \frac{f_p^H \Gamma_p^{-1} Q_s \Gamma_p^{-H} f_p}{f_s^H f_s / b_{SU}} \right\} \quad (15)$$

با استفاده از تجزیه ماتریس‌های  $\Gamma_p^{-1} Q_s \Gamma_s^{-H}$  و  $\Gamma_s^{-1} Q_p \Gamma_p^{-H}$  برابر مقداری ویژه بصورت زیر:

$$\begin{cases} \Gamma_p^{-1} Q_s \Gamma_s^{-H} = R_p \Lambda_p R_p^H \\ \Gamma_s^{-1} Q_p \Gamma_p^{-H} = R_s \Lambda_s R_s^H \end{cases} \quad (16)$$

می‌توان بردارهای پرتوسازی  $V_p$  و  $V_s$  را بصورت رابطه (۱۷) بدست آورد.

$$\begin{cases} f_p = \sqrt{P_p} r_p \Rightarrow V_p = \Gamma_p^{-H} f_p = \sqrt{P_p} \Gamma_p^{-H} r_p \\ f_s = \sqrt{P_s} r_s \Rightarrow V_s = \Gamma_s^{-H} f_s = \sqrt{P_s} \Gamma_s^{-H} r_s \end{cases} \quad (17)$$

که در آن  $r_p$  و  $r_s$  به ترتیب بردارهای نرمالیزه متناظر با مقادیر ویژه کمینه  $\Lambda_p$  و  $\Lambda_s$  از ماتریس‌های  $R_p$  و  $R_s$  هستند. جهت محاسبه بردارهای  $U_p$  و  $U_s$  با فرض داشتن  $V_p$  و  $V_s$ ، با استفاده از تئوری دوگانی مسیر فراسو و فرسوسو [۷] می‌توان ملاک بهینه سازی رابطه (۱۰) را بصورت رابطه (۱۸) نوشت.

$$\min \{J_3 + J_4\} \quad (18)$$

که در این رابطه،  $J_3$  و  $J_4$  بصورت زیر می‌باشند.

$$J_3 = b_{PU} \frac{U_p^H (H_p v_s v_s^H H_p^H + N_p I_{M_p}) U_p}{U_p^H H_p v_p v_p^H H_p^H U_p} \quad (19)$$

$$J_4 = b_{SU} \frac{U_s^H (H_s v_p v_p^H H_s^H + N_s I_{M_s}) U_s}{U_s^H H_s v_s v_s^H H_s^H U_s} \quad (20)$$

که در آن  $v_p$  و  $v_s$  به ترتیب نرمالیزه شده  $V_p$  و  $V_s$  هستند. ماتریس‌های  $H_s v_s v_s^H H_s^H$  و  $H_p v_p v_p^H H_p^H$  بصورت رابطه (۲۱) تجزیه می‌شوند.

$$\begin{cases} H_p v_p v_p^H H_p^H = \Upsilon_p \Upsilon_p^H \\ H_s v_s v_s^H H_s^H = \Upsilon_s \Upsilon_s^H \end{cases} \quad (21)$$

با جایگذاری روابط (۱۹)، (۲۰) و (۲۱) در (۱۸) و تعریف بردارهای  $f_p$  و  $f_s$  بصورت رابطه (۱۴) و ماتریس-

کل توان ارسالی BS و  $r$  ضریب بین  $SINR_{SU}$  و  $SINR_{PU}$  است.  $P_p$  و  $P_s$  به ترتیب توان ارسالی برای SU و PU می-باشند.  $N_c$  طبق رابطه زیر به دست می‌آید.

$$N_c = b_{PU} (1 - Pe_{PU}) + b_{SU} (1 - Pe_{SU}) \quad (7)$$

که در آن  $b_{PU}$  و  $b_{SU}$  به ترتیب تعداد بیت‌های ارسالی برای PU و SU است.  $Pe_{PU}$  و  $Pe_{SU}$  به ترتیب احتمال خطای بیت PU و SU می‌باشند. با توجه به رابطه معکوس احتمال خطای بیت و SINR، با جایگذاری رابطه (۷) در (۶) داریم.

$$\max \left\{ \frac{b_{PU} (1 - \alpha / SINR_{PU}) + b_{SU} (1 - \alpha / SINR_{SU})}{P_{\max}} \right\} \quad (8)$$

که در آن  $\alpha$  ضریب تناسب بین احتمال خطای بیت و SINR است. بیشینه کردن ملاک رابطه (۸) معادل کمینه کردن رابطه زیر می‌باشد.

$$\min \{b_{PU} / SINR_{PU} + b_{SU} / SINR_{SU}\} \quad (9)$$

با جایگذاری روابط (۴) و (۵) در رابطه (۹) و انجام کمی محاسبات، می‌توان ملاک بهینه سازی را بصورت رابطه زیر نوشت.

$$\min \{J_1 + J_2\} \quad (10)$$

که در این رابطه،  $J_1$  و  $J_2$  بصورت زیر می‌باشند.

$$J_1 = b_{PU} \frac{V_s^H \left( H_p^H U_p U_p^H H_p + \frac{N_p}{P_s} I_N \right) V_s}{V_p^H H_p^H U_p U_p^H H_p V_p} \quad (11)$$

$$J_2 = b_{SU} \frac{V_p^H \left( H_s^H U_s U_s^H H_s + \frac{N_s}{P_p} I_N \right) V_p}{V_s^H H_s^H U_s U_s^H H_s V_s} \quad (12)$$

در این روابط، منظور از  $I_N$  ماتریس همانی با ابعاد  $N \times N$  است. با فرض مشخص بودن  $U_p$ ،  $U_s$ ،  $P_p$  و  $P_s$ ، ماتریس‌های  $H_s^H U_s U_s^H H_s$  و  $H_p^H U_p U_p^H H_p$  بصورت رابطه (۱۳) تجزیه می‌شوند.

$$\begin{cases} H_p^H U_p U_p^H H_p = \Gamma_p \Gamma_p^H \\ H_s^H U_s U_s^H H_s = \Gamma_s \Gamma_s^H \end{cases} \quad (13)$$

با جایگذاری روابط (۱۱)، (۱۲) و (۱۳) در (۱۰) و (۱۳) و تعریف بردارهای  $f_p$  و  $f_s$  بصورت رابطه (۱۴) و ماتریس-های  $Q_p = H_p^H U_p U_p^H H_p + \frac{N_p}{P_s} I_N$  و  $Q_s = H_s^H U_s U_s^H H_s + \frac{N_s}{P_p} I_N$  می‌باشد.

جدول ۱ : گام‌های الگوریتم پیشنهادی پرتوسازی و تخصیص توان

۱. مقدار اولیه  $P_p$  و بردارهای اولیه  $v_p$  و  $v_s$  انتخاب می‌شوند.
۲. با استفاده از روابط (۲۴) و (۲۵) بردارهای پرتوسازی گیرنده  $U_p$  و  $U_s$  محاسبه می‌شوند.
۳. با استفاده از روابط (۱۶) و (۱۷) بردارهای پرتوسازی فرستنده  $V_p$  و  $V_s$  تعیین می‌شوند.
۴. با جایگذاری بردارهای  $U_p, V_s, V_p$  و  $U_s$  در قیدهای بهینه سازی رابطه (۶) مقادیر  $P_p$  و  $P_s$  از حل معادلات روابط (۲۶) و (۲۷) بدست می‌آیند.
۵. بردارهای  $v_p$  و  $v_s$  به ترتیب با نرمالیزه کردن  $V_p$  و  $V_s$  بدست می‌آیند.
۶. اگر اختلاف بین نسبت کل تعداد بیت‌های صحیح دریافتی به کل توان ارسالی فعلی و قبلی، از آستانه ۶ بیشتر باشد، الگوریتم به گام ۲ برمی‌گردد. در غیر اینصورت، الگوریتم پایان می‌یابد.

#### ۴ - نتایج شبیه سازی

در این بخش با شبیه سازی الگوریتم پیشنهادی، کارکرد آن بررسی می‌شود. در شبیه سازی‌ها، کanal‌های PU و SU بصورت تارکننده تخت بوده و عناصر آنها مستقل از یکدیگر، با توزیع گوسی، میانگین صفر و واریانس یک می‌باشند. مدولاسیون QPSK بوده و نتایج برای صدهزار تحقق پذیری کanal بدست آمده است. در شکل‌ها به ترتیب تعداد آتن‌های BS ( $N$ ), PU ( $M_p$ ) و SU ( $M_s$ ) برای هر نمودار، مشخص شده است. در شکل‌ها، منظور از SNR، نسبت توان سیگنال در گیرنده به توان نویز است. برای هر تحقق پذیری کanal در شبیه سازی‌ها، الگوریتم پیشنهادی ده بار تکرار شده است تا امکان مقایسه بهتری فراهم گردد. (گرچه در عمل مطابق جدول ۱، مقدار کوچک ۶ جهت توقف الگوریتم بکار می‌رود).

شکل ۲ نمودار  $SINR_{PU}$  و  $SINR_{SU}$  را با  $N = 2, 4$  و  $SINR_{PU}$  را با  $M_p = 1, 2$  و  $M_s = 1, 2$  و به ازای  $r = 2$  نشان می‌دهد. همانطور که مشاهده می‌شود در هر مورد،  $SINR_{PU}$  دو برابر  $SINR_{SU}$  متناظر می‌باشد، زیرا قید بهینه سازی رابطه (۶)،  $SINR_{PU} = rSINR_{SU}$  بوده و در این نمودار  $r = 2$  است.

شکل ۳ نمودار احتمال خطای بیت متناظر شکل ۲ را برای SU نشان می‌دهد. با افزایش  $N$ ،  $M_p$  و  $M_s$  PU و SU می‌توان

$$T_p = H_p v_s v_s^H H_p^H + N_p I_{M_p} \quad \text{و} \quad T_s = H_s v_p v_p^H H_s^H + N_s I_{M_s} \quad \text{می‌توان رابطه (۱۸) را}$$

بصورت رابطه (۲۳) نوشت.

$$\begin{cases} z_p = \Upsilon_p^{-1} U_p \Rightarrow U_p = \Upsilon_p^{-H} z_p \\ z_s = \Upsilon_s^{-1} U_s \Rightarrow U_s = \Upsilon_s^{-H} z_s \end{cases} \quad (۲۲)$$

$$\min \left\{ \frac{z_p^H \Upsilon_p^{-1} T_p \Upsilon_p^{-H} z_p}{z_p^H z_p / b_{PU}} + \frac{z_s^H \Upsilon_s^{-1} T_s \Upsilon_s^{-H} z_s}{z_s^H z_s / b_{SU}} \right\} \quad (۲۳)$$

با استفاده از تجزیه ماتریس‌های  $\Upsilon_p^{-1} T_p \Upsilon_p^{-H}$  و  $\Upsilon_s^{-1} T_s \Upsilon_s^{-H}$  بر مبنای مقادیر ویژه بصورت زیر:

$$\begin{cases} \Upsilon_p^{-1} T_p \Upsilon_p^{-H} = W_p \Delta_p W_p^H \\ \Upsilon_s^{-1} T_s \Upsilon_s^{-H} = W_s \Delta_s W_s^H \end{cases} \quad (۲۴)$$

می‌توان بردارهای پرتوسازی  $U_p$  و  $U_s$  را بصورت رابطه (۲۵) بدست آورد.

$$\begin{cases} z_p = w_p \Rightarrow U_p = \Upsilon_p^{-H} w_p / \| \Upsilon_p^{-H} w_p \|^2 = u_p \\ z_s = w_s \Rightarrow U_s = \Upsilon_s^{-H} w_s / \| \Upsilon_s^{-H} w_s \|^2 = u_s \end{cases} \quad (۲۵)$$

که در آن  $w_p$  و  $w_s$  به ترتیب بردارهای نرمالیزه متناظر با مقادیر ویژه کمینه  $\Delta_p$  و  $\Delta_s$  از ماتریس‌های  $W_p$  و  $W_s$  می‌باشند. منظور از  $\|a\|^2$  نرم بردار  $a$  می‌باشد. اکنون با استفاده از روابط (۱۷)، (۲۵) و قیدهای بهینه سازی در رابطه (۶)، مقادیر  $P_p$  و  $P_s$  با حل دو معادله (۲۶) و (۲۷) بدست می‌آیند.

$$P_p + P_s = P_{\max} \quad (۲۶)$$

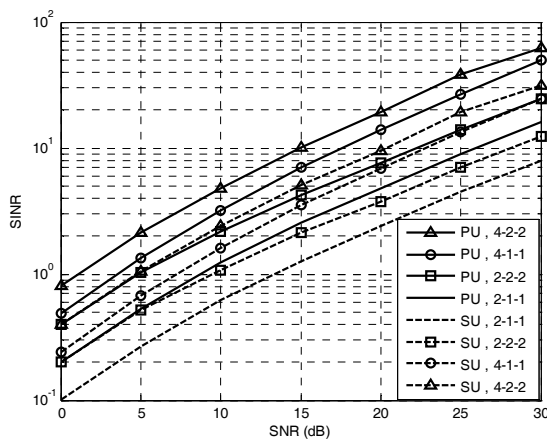
$$G_1 = G_2 \quad (۲۷)$$

که در آن  $G_1$  و  $G_2$  بصورت زیر هستند.

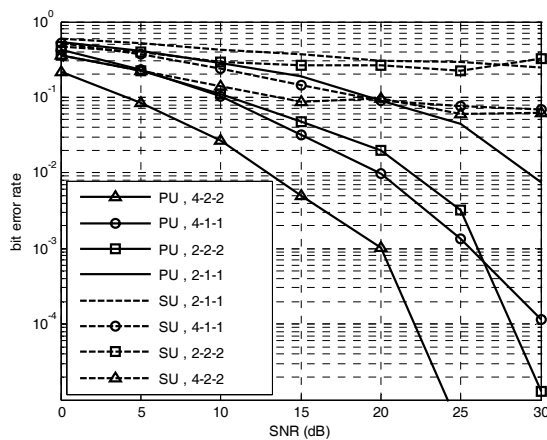
$$G_1 = \frac{P_p r_p^H \Gamma_p^{-1} H_p^H u_p u_p^H H_p \Gamma_p^{-H} r_p}{P_s r_s^H \Gamma_s^{-1} H_s^H u_s u_s^H H_s \Gamma_s^{-H} r_s + N_p} \quad (۲۸)$$

$$G_2 = r \frac{P_s r_s^H \Gamma_s^{-1} H_s^H u_s u_s^H H_s \Gamma_s^{-H} r_s}{P_p r_p^H \Gamma_p^{-1} H_p^H u_p u_p^H H_p \Gamma_p^{-H} r_p + N_s} \quad (۲۹)$$

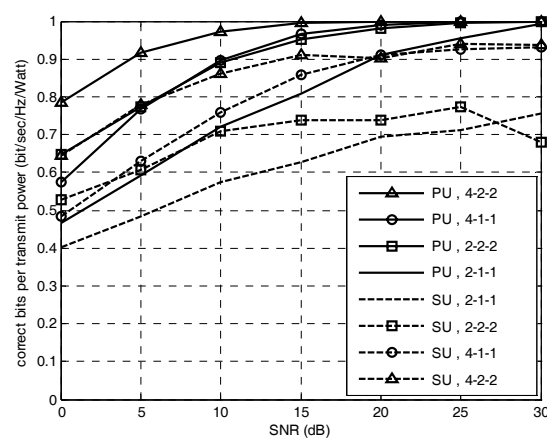
الگوریتم پیشنهادی پرتوسازی و تخصیص توان PU و SU چنان بدست می‌آید که ملاک (۶) و چارچوب‌های داده شده برقرار گردد. در جدول ۱ چگونگی اجرای الگوریتم تکراری تعیین بردارهای پرتوسازی و تخصیص توان آمده است.



شکل ۲: نسبت سیگنال به نویز بعلاوه تداخل PU و SU به ازای  $N = 2,4$ ,  $r = 2$ ,  $M_p = M_s = 1,2$  و



شکل ۳: احتمال خطای بیت PU و SU به ازای  $N = 2,4$ ,  $r = 2$ ,  $M_p = M_s = 1,2$  و



شکل ۴: نسبت تعداد بیت‌های صحیح دریافتی PU و SU به ازای  $N = 2,4$ ,  $r = 2$ ,  $M_p = M_s = 1,2$  و

برتوهای بیشتری را شکل داده و تداخل PU و SU بر روی یکدیگر را کاهش داد. بهمین دلیل، همانطور که در شکل‌های ۲ و ۳ مشاهده می‌شود، با افزایش تعداد آنتن‌های فرستنده و گیرنده،  $SINR_{PU}$  و  $SINR_{SU}$  و یا احتمال خطای بیت متضطرر آنها بهبود می‌یابد.

در شکل ۴ نمودار نسبت تعداد بیت‌های صحیح دریافتی PU و SU به کل توان ارسالی متضطرر با شکل ۲ رسم شده است. همانطور که دیده می‌شود، با افزایش تعداد سیگنال به نویز (SNR)، نسبت تعداد بیت‌های صحیح دریافتی PU و SU به کل توان ارسالی افزایش می‌یابد. علت این افزایش، کاهش احتمال خطای بیت متضطرر در شکل ۳ با افزایش SNR می‌باشد.

شکل ۵ نمودار  $SINR_{SU}$  و  $SINR_{PU}$  را با  $N = 8$ ,  $M_p = M_s = 1$  و به ازای  $r = 1,2,10$  نشان می‌دهد. همانطور که در این شکل دیده می‌شود،  $SINR_{PU}$ ,  $r$  برابر  $SINR_{SU}$  است. با افزایش  $r$  بدلیل افزایش تقدم PU نسبت به SU و  $SINR_{PU}$  به ترتیب افزایش و کاهش می‌یابند. شکل ۶ نمودار احتمال خطای بیت PU و SU متضطرر شکل ۵ را نشان می‌دهد. با افزایش  $r$ ,  $SINR_{PU}$  نسبت به با ضریب  $r$  افزایش می‌یابد. بهمین دلیل همانطور که دیده می‌شود، با افزایش  $r$  احتمال خطای بیت PU و SU به ترتیب کاهش و افزایش می‌یابند. در حالت  $r = 1$ ، احتمال خطای بیت PU و SU مشابه یکدیگر هستند، زیرا در این حالت،  $SINR_{PU}$  با  $SINR_{SU}$  برابر است.

در شکل ۷ نمودار نسبت تعداد بیت‌های صحیح دریافتی PU و SU به کل توان ارسالی متضطرر با شکل ۵ رسم شده است. همانطور که مشاهده می‌گردد، با افزایش  $r$ ، نسبت تعداد بیت‌های صحیح دریافتی PU و SU به ترتیب افزایش و کاهش می‌یابند. در این نمودار به ازای  $r = 1$  نسبت تعداد بیت‌های صحیح دریافتی PU و SU به کل توان ارسالی، با یکدیگر برابر شده است. دلیل این تساوی، یکسان بودن احتمال خطای بیت PU و SU به ازای  $r = 1$  می‌باشد.

جدول ۲ عملکرد الگوریتم پیشنهادی را از لحاظ  $SINR_{SU}$  با الگوریتم پیشنهاد شده در [۸] مقایسه می‌کند. مقایسه برای حالت یک PU و یک SU و در  $SINR = 20dB$  انجام شده است. همانطور که دیده می‌شود،  $SINR_{SU}$  الگوریتم پیشنهادی از روش پیشنهادی در [۸] بالاتر است. این مقایسه با فرض  $N = 8$  و یک آنتن برای PU و SU و با  $r = 10$  انجام شده است.

جدول ۲ : مقایسه الگوریتم پیشنهادی و الگوریتم ارائه شده در [۸]

|                  | الگوریتم پیشنهادی | الگوریتم مقاله [۸] |
|------------------|-------------------|--------------------|
| $SINR_{SU}$ (dB) | 17.7184           | 16.0256            |

## ۵- نتیجه گیری

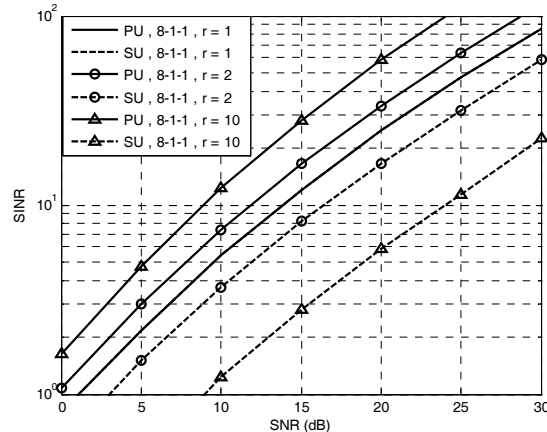
در این مقاله الگوریتم نوینی برای پرتوسازی فرستنده و گیرنده در سیستم‌های رادیو شناختمند MIMO ارائه شد که در آن نخست، اولویت PU نسبت به SU در بکارگیری پهنای باند، بصورت رابطه‌ای بین  $SINR_{PU}$  و  $SINR_{SU}$  تضمین می‌شود. پس از تضمین اولویت PU، در چارچوب کل توان ارسالی BS، نسبت کل تعداد بیت‌های صحیح دریافتی به کل توان ارسالی بیشینه می‌گردد. نتایج شبیه سازی نشان دهنده کارایی خوب الگوریتم پیشنهادی در بیشینه کردن ملاک مورد نظر است.

## سپاسگزاری

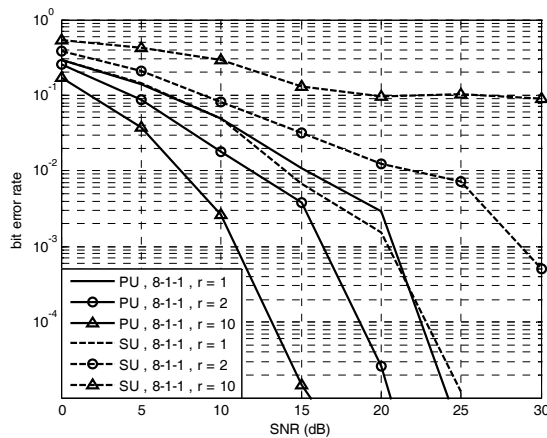
نویسنده‌گان از پشتیبانی مالی مرکز تحقیقات مخابرات ایران در انجام این پژوهش عمیقاً قدردانی می‌کنند.

## مراجع

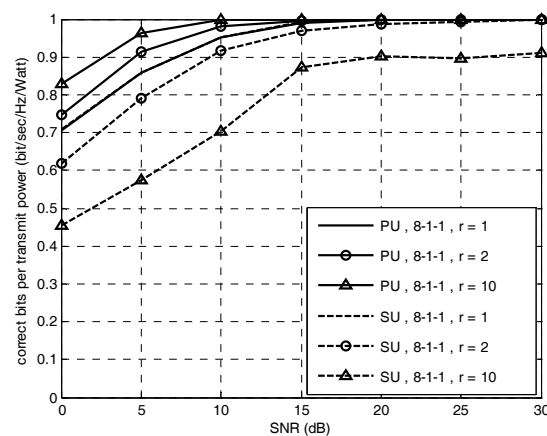
- [1] S. Haykin, "Cognitive radio: Brain-empowered wireless communications" *IEEE Trans. Selected Areas in Communications*, Vol. 23, No. 2, pp. 201-220, 2005.
- [2] L. Zhang and Y. Liang and Y. Xin, "Joint Beamforming and Power Allocation for Multiple Access Channels in Cognitive radio Networks" *IEEE Trans. Selected Areas in Communications*, Vol. 26, No. 1, pp. 38-51, 2008.
- [3] H. Islam and Y. Liang and A. Hoang, "Joint power control and beamforming for Cognitive radio Networks" *IEEE Trans. Wireless Communications*, Vol. 7, No. 7, pp. 2415-2419, 2008.
- [4] M. Lim and D. McLernon and M. Ghogho, "Weighted harmonic mean SINR maximization for the MIMO downlink" *Proc. Int. Conf. on Acoustics, Speech and Signal Processing (ICASSP)*, pp. 2381-2384, 2009.
- [5] Y. Xing and C. Mathur and M. Haleem and R. Chandramouli, "Dynamic Spectrum Access with QoS and Interference Temperature Constraints" *IEEE Trans. Mobile Computing*, Vol. 6, No. 4, pp. 423-433, 2007.
- [6] H. Zamiri-Jafarian and H. Khoshbin and S. Pasupathy, "Time-domain equalizer for OFDM systems based on SINR maximization" *IEEE Trans. Communications*, Vol. 53, No. 6, pp. 924-929, 2005.
- [7] Sh. Shuying and M. Schubert and H. Boche, "Downlink MMSE Transceiver Optimization for Multiuser MIMO Systems: Duality and Sum-MSE Minimization" *IEEE Trans. Signal Processing*, Vol. 55, No. 11, pp. 5436-5446, 2007.
- [8] K. Cumanan and L. Musavian and S. Lambotharan and A. B. Gershman, "SINR Balancing Technique for Downlink Beamforming in Cognitive Radio Networks" *IEEE Signal Processing Letters*, Vol. 17, No. 2, pp. 133-136, 2010.



شکل ۵: نسبت سیگنال به نویز بعلاوه تداخل PU و SU به ازای  $N = 8$  و  $r = 1, 2, 10$  ،  $M_p = M_s = 1$



شکل ۶: احتمال خطای بیت PU و SU به ازای  $N = 8$  و  $r = 1, 2, 10$  ،  $M_p = M_s = 1$



شکل ۷: نسبت تعداد بیت‌های صحیح دریافتی PU و SU به ازای  $N = 8$  و  $r = 1, 2, 10$  ،  $M_p = M_s = 1$